

九州工業大学 正員 渡辺 明
 九州工業大学 学生員 ○後藤 司
 九州工業大学 学生員 橋本 聰典

1. まえがき

居住性の悪化、交通容量の機能が限界に達したため、また都市再開発などのためにコンクリート構造物は、改築されるケースが多くなっている。現在、多くの解体工法が考案されているがその安全性、騒音、振動、経済性、施工性等などが問題となっている。特に市街地における解体工法として合理的な工法となっていないもののが多い。このような社会的要件に答える解体工法として静的破碎剤(膨張剤末、比重3.12)が注目されている。そこで、静的破碎剤を用いた破壊機構を実験的、理論的両面から検討してみた。

2. 実験概要

すべての供試体が同じ条件となるように鉄筋を配置し供試体の形状・寸法を図-1、表-1に示し、これを用い、自由端距離が孔間亀裂に与える影響を調べた。また、自由端と孔間中央にひずみゲージを貼り測定した。さらに、鉄筋コンクリート柱を解体する場合、通常、かぶりの破壊→鉄筋の切断・はつり作業→内部コンクリートの破壊といった2次の破壊の過程を経るのだが、この方法では、時間的に不経済である。したがって、かぶりの破壊と内部コンクリートの破壊が同時に進行されるよう最も適な孔の配置を考えてみた。実験で使用した水-破碎剤比は25%で、孔は予め穿った供試体を用いた。

3. 実験結果および考察

(1) 自由端距離が孔間亀裂に与える影響

各自由端距離のときの亀裂発生時間を表-3に示し、孔間中央と自由端にひずみゲージを貼って測定したひずみのひずみ一時間の関係を図-2に示す。図-2より、自由端距離が短いほど、孔間を貫通する亀裂発生時間は短いことがわかる。これより、無限に広い自由面のある一自由面を掘削しようとすると、その面に垂直に孔を配置しても孔間を貫通する亀裂は発生にくいと考えられる。さて、図-1において、理論的な解析を試みる。図-2において自由端距離が短いほど孔間を貫通する亀裂発生時間は短いことがわかった。また、孔間を貫通する亀裂は、自由端距離が長ければ、自由端に亀裂が生じるとすぐに発生する傾向がある。(したがって、破壊設計する場合、自由端に亀裂が生じる時間が孔間を貫通する亀裂発生時間であると考えられ、破壊時間であると考えることができる)。従来式の論文によると、せん性材料(大理石)で円筒を作製し、それに内圧をかけた場合、円筒は応力分布の影響をうけ、円周応力の最大値が材料の引張強さの1.5倍になるととき破壊すると報告されている。そのときの関係式は、式(1)に示される。

$$P = \frac{3}{2} \frac{K^2 - 1}{K^2 + 1} \sigma_b \quad (1) \quad \text{但し} \quad K = \frac{\text{外径}}{\text{内径}}$$

σ_b : 材料の引張強さ

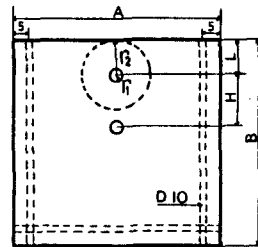


図-1 供試体形状

表-1 供試体寸法

L (m) (cm)	A (cm)	B (cm)	H (cm)
2	60	42	10
4	60	44	10
10	60	50	10
20	60	60	10

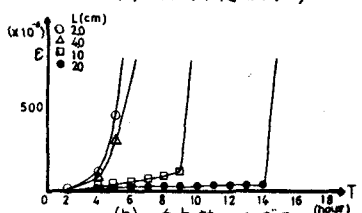
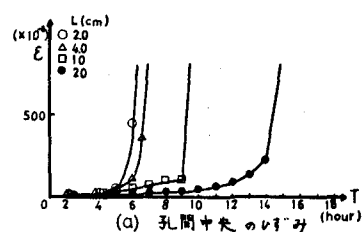


図-2 ひずみ一時間の関係

いま、図-1のようだ、内径2.2cm、自由端距離を外径とする円筒を仮定し、佐藤氏の式を適用して自由端距離の破壊時間を求めてみる。最初に、孔を穿ったコンクリートに発生する膨張圧を求めなければならない。膨張圧は拘束度が大きいほど大きい²⁾ので、まず、コンクリートの拘束度を求める。コンクリートの拘束度は $R_c = \frac{6E}{7\gamma_1} - (2)$ であるとされる。³⁾そこで、この材料の弹性係数 $E_c = 2.69 \times 10^5 \text{ kg/cm}^2$ 、 $\gamma_1 = 1.1 \text{ cm}$ を代入すると、 $R_c = 2.1 \times 10^5 \text{ kg/cm}^2$ となる。この実験は27.5°Cの室内で行なったので、27.5°C、内径2.2cm、 $R_c = 2.1 \times 10^5 \text{ kg/cm}^2$ の場合の膨張圧の経時変化を示すと図-3のようになる。次にそれを自由端距離(外径)に対してのKを求める。Kとの値を式(1)に代入すると、理論的に各自由端距離の亀裂発生時の膨張圧が求まる。そのようにしてえらべた値を表-3に示す。それが図-3によって、式(1)で求めたそれぞれの自由端距離の破壊時膨張圧Pに対する破壊時間が求まる。結果として、表-3より実測破壊時間と理論破壊時間はKの値が小さい方であつていて、大きい方であつてない。原因として、図-1のように円筒を仮定したが、自由端距離の長いもの、すなわち、Kの大きいものは、まわりの拘束が仮定した円筒よりも大きいことが考えられる。

(2) 鉄筋コンクリート柱の解体

孔を二方向に配置した場合の亀裂発生状況を図-4(b)に示す。図-4(a)において斜線部が孔の配置を示す。静的破碎剤を充填してから24時間後、ドライバーを亀裂に入れて軽く動かすと孔配置面の側面部の帶鉄筋と軸方向鉄筋のジョイント部を除くがぶり部分がこわれ、軸方向鉄筋が露出した。次に本体に衝撃を与えるように残りのガブリ部分をこわし、軸方向鉄筋を完全に露出させ、取りさると内部コンクリートはすでに破壊していた。

4 まとめ

佐藤氏の式がコンクリートにおいても適用できると考えられる。さらに実験を重ねて確証を大たいと考えている。現場においては、孔径は目的に応じて選ったものが使用されるので、現在、肉厚の違った鋼管を用いて、各孔径における膨張圧と拘束度の関係を調べてある最中である。また、鉄筋コンクリート柱において、実際はこの供試体よりも鉄筋量が多い。そういう場合について今後検討していくといきたいと考える。終りに、本学生、岩下秀伸、岡田雅文、丙君の助力に謝意を表する。

[参考文献]

- 1) 材料の強度と塑性：佐藤和郎著（森北出版）
- 2) 清川明、後藤司：“静的破碎剤によるコンクリート構造物の解体に関する研究”（第3回日本年次学術講演概要集）

表-2 供試体諸性質

圧縮強度	34.3
引張強度	24.1
圧縮弹性係数	2.69×10^5

単位 kg/cm²

表-3 K, P 値と破壊時間

自由端距離 (cm)	K	P	自由端 膨張圧 理論値(hour)			実験値(hour)		
			理論値	実験値	実験値	理論値	実験値	実験値
2	1.82	19.4	5.3	5.5	6.5			
4	3.64	31.0	6.5	6.5	7.0			
10	9.09	35.3	7.5	9.5	9.5			
20	18.18	35.9	7.6	15.0	15.0			

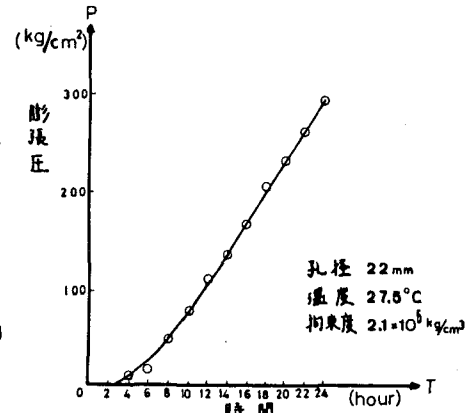


図-3 膨張圧の経時変化

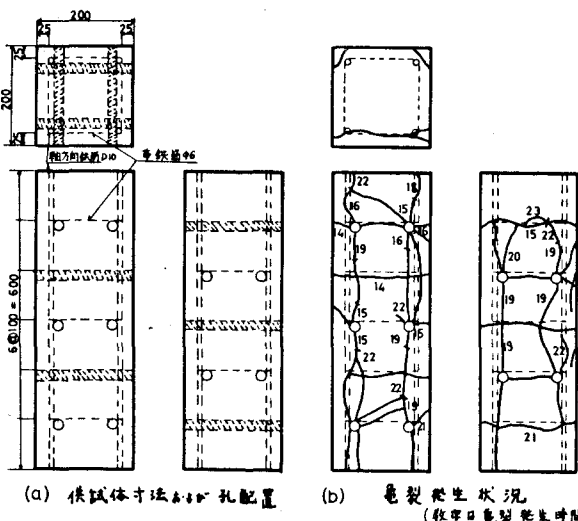


図-4 鉄筋コンクリート柱の破壊